



# بررسی و شناسایی امتزاج پذیری آلیاژهای پلیمری در تهیه پیشرانه‌های جامد مرکب

احسان فتح‌الله\*

گرگان، دانشگاه گلستان، دانشکده علوم پایه، گروه شیمی

چکیده ...

فصلنامه علمی - ترویجی  
سال سوم شماره ۲، نسخه پیاپی ۱-۱، تابستان ۱۳۹۷  
Vol. 3, No. 2, Issue No. 10, Quarterly  
Summer 2018, سفته ۲۷-۲۶

Iran Polymer Technology;  
Research and Development

## واژه‌های کلیدی:

پیشرانه  
پلیمرهای پرانرژی  
آلیاژهای پلیمری  
امتزاج پذیری  
نرم کننده

ニاز به مواد پرانرژی با حساسیت کم برای کاربرد در پیشرانه‌های جامد مرکب باعث گسترش کاربرد پلیمرها و نرم کننده‌های پرانرژی همراه با مواد منفجره به عنوان محمل پلیمری شده است. مواد منفجره با محمل پلیمری متداول شامل سامانه محمل بی‌اثر هستند و کارایی محدودی دارند. برای ارتقای کارایی سامانه‌های حاوی پلیمرهای بی‌اثر روش‌های مختلفی به کار رفته است. که مهم‌ترین آن‌ها به کاربردن پلیمرها و نرم کننده‌هایی است که به مقدار انرژی ترکیب می‌افزایند. این روش در ساخت مواد منفجره کارآمد و پیشرانه‌های جامد پیشرفته موثر است. یکی از مشکلات ترکیب‌های پلیمر-پلیمر و پلیمر-نرم کننده امکان امتزاج ناپذیری آن‌هاست که این خود باعث کاهش کارایی آلیاژها و خواص سوخت‌های تهیه شده می‌شود. به همین دلیل بررسی و شناسایی امتزاج پذیری آلیاژهای پلیمری امر مهمی به شمار می‌رود. در این تحقیق به مطالعه و چگونگی استفاده از روش‌های مختلفی از جمله: آزمون‌های گرانوی سنجی، حرارتی، میکروسکوپ‌های الکترونی، تحلیل پرتو X، فراصوت، طیف‌های IR، NMR و آزمون‌های مکانیکی و... با هدف شناسایی و بررسی امتزاج پذیری آلیاژهای پلیمری پرداخته شود.

\*پست الکترونیکی مسئول مکاتبات:  
fa366\_ehsan@yahoo.com

## ۱ مقدمه

آن، کاهش گرانروی آمیزه به منظور فرایندپذیری آسان و بهبود سرعت سوزش است [۶-۷]. امروزه برای اصلاح و به دست آوردن خواص بهتر در ترکیبات پلیمری از آلیاژهای آن‌ها استفاده می‌شود. حال با توجه به مطالب گفته شده در بالا، برای تهیه پیشانه‌های پلیمری با ویژگی‌های جدید و اصلاح خواص فیزیکی-مکانیکی و همچنین جلوگیری از کاهش کارایی سامانه به دلیل بی‌اثر بودن بعضی از محمل‌های پلیمری، تهیه آلیاژهای آن‌ها با پلیمرهای پرانرژی یا نرم‌کننده‌های پرانرژی، امری ضروری است که این خود باعث شده است تا محققان حوزه پیشانه به دنبال مطالعه بر روی آلیاژهای پلیمری باشند. اما یکی از مشکلاتی که در آلیاژهای پلیمری وجود دارد احتمال ناسازگاری ترکیبات تشکیل دهنده آن‌ها با یکدیگر و ایجاد پلیمری با ویژگی‌های فیزیکی و مکانیکی نامطلوب است. پس می‌توان گفت که مطالعه برروی آلیاژهای پلیمری و سازگاری پلیمرهای تشکیل دهنده آن‌ها با یکدیگر امری ضروری است. در این مقاله ما به دنبال ارائه روش‌های مناسب و مقایسه آن‌ها به منظور معرفی روشی ساده و کارآمد برای رسیدن به هدف شناسایی بهتر و به موقع میزان امتزاج پذیری پلیمر-پلیمر-نرم‌کننده پرانرژی هستیم. برای این کار از روش‌هایی مانند آزمون‌های گرانروی‌سننجی، حرارتی، میکروسکوپ‌های الکترونی، تحلیل پرتو X، فراصوت، طیف‌های IR، NMR و آزمون‌های مکانیکی استفاده شده است.

## ۲ گرانروی‌سننجی محلول رقیق

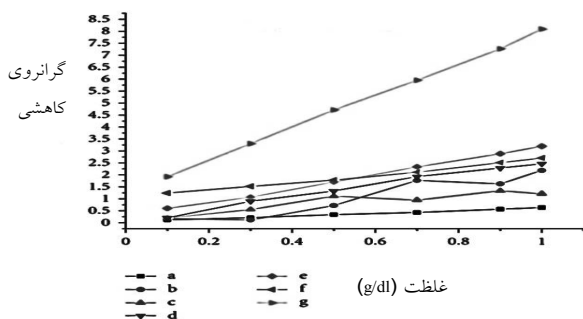
گرانروی‌سننجی محلول رقیق به منظور ارزیابی تمایل ترمودینامیکی دو پلیمر در حلal مشترک آن دو صورت می‌گیرد. اصول استفاده از این روش، اندازه‌گیری گرانروی متأثر از نیروهای جاذبه یا دافعه بین اجزای دو پلیمر محلول است. به عبارت دیگر، در محلول مشترک، برهم‌کنش دو پلیمر بر برهم‌کنش پلیمر-حلال غالب بوده، موجب تورم یا انقباض مارپیچ‌های پلیمری شده، به ترتیب، منجر به افزایش گرانروی یا کاهش گرانروی می‌شود [۸].

گرانروی ویژه محلول رقیق پلیمری از معادله کلاسیک هاگینز (Huggins) محاسبه می‌شود: (رابطه ۱)

$$\eta_{sp} = [\eta]C + KH[\eta]^2 C^2 \quad (1)$$

که در آن  $\eta_{sp}$  گرانروی ویژه،  $[\eta]$  گرانروی ذاتی،  $KH$

پیشانه‌ها از اکسنده و کاهنده تشکیل شده‌اند که در اثر واکنش این دو ماده، گازهای داغی تولید می‌شود، این گازها منسوب شده و از طریق دماغه خارج شده و باعث می‌شوند موشک به طرف جلو حرکت کند. نیرویی که موشک را به طرف جلو حرکت می‌دهد، نیروی پیشان نامنده می‌شود [۱]. پیشانه‌های جامد، مواد شیمیایی بسیار واکنش‌پذیر به صورت فشرده شده و حالت جامد هستند که می‌توان آن‌ها را مشتعل کرد و به صورت کنترل شده برای مدت کوتاهی سوزاند که در نتیجه آن حجم بسیار زیادی از گازهای بسیار داغ تولید می‌شود [۲]. پیشانه‌های جامد به دو گروه همگن و ناهمگن دسته‌بندی می‌شوند. پیشانه‌های مرکب (کامپوزیتی) به صورت مخلوط ناهمگن هستند و از نمک معدنی بلوری یا ساینده شده نرم به عنوان اکسیدکننده استفاده می‌کنند که بیشتر بخش پیشان را تشکیل می‌دهد. برای یکپارچه نگه‌داشتن پیشان از نگه‌دارنده پلیمری استفاده می‌شود. امروزه استفاده از پیشانه‌های جامد پرانرژی با کاربردهای خاص، گسترش چشم‌گیری یافته است. برای رسیدن به این منظور از پلیمرهای پرانرژی یا پلیمرهای بی‌اثر به علاوه نرم‌کننده‌های پرانرژی استفاده می‌شود [۳]. پلیمر پرانرژی عبارت است از درشت مولکولی که در ساختار آن گروه‌های عاملی پرانرژی مانند گروه نیترات وجود داشته باشد [۴]. پیشانه‌های جامد پرانرژی اغلب به دلیل استفاده از درصد بالای ذرات جامد اکسیدکننده و سوخت فلزی با مشکلات فرایندپذیری و ریخته‌گری همراه هستند و همچنین ذخیره‌سازی طولانی مدت باعث افزایش تدریجی خواص آن‌ها می‌شود [۵]. به منظور بهبود فرایند تولید و همچنین خواص فیزیکی-مکانیکی در پیشانه‌های جامد پرانرژی، نیاز به استفاده از ترکیبات نرم‌کننده است. انتخاب نوع و نیز مقدار پیوندهای و نرم‌کننده در پیشانه‌های جامد با درصد فاز جامد بالا از اهمیت بالایی برخوردار است. نرم‌کننده‌ها به طور کلی به دو دسته پرانرژی و خنثی تقسیم می‌شوند. نرم‌کننده‌های پرانرژی علاوه بر نقش مشابه در بهبود خواص مکانیکی، به دلیل گرمای احتراق و موازنۀ اکسیژن مناسب، بازده احتراقی بالاتری را ایجاد می‌کنند. از جمله دیگر نقش‌های نرم‌کننده‌های انرژی‌زا در پیشانه‌های جامد و خرج‌های پلاستیکی، بهبود فاکتور اینمنی به وسیله نرم کردن ماتریس پلیمر و منعطف ساختن بیشتر

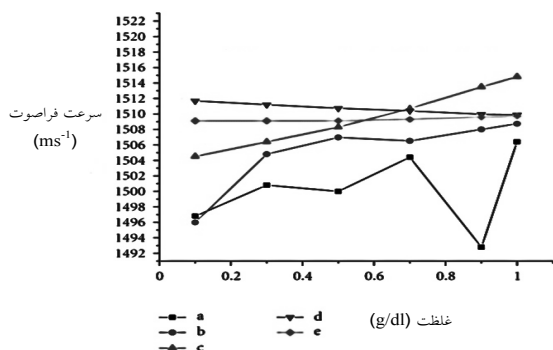


شکل ۱ گرانزوی کاهشی آلیاژها در برابر غلاخت (g/dl) (a) PEG خالص، (b) آلیاژهای HPC/PEG (c, ۲۰/۸۰ HPC/PEG, ۴۰/۶۰, ۵۰/۵۰, ۶۰/۴۰, ۸۰/۲۰) (f) HPC خالص.

غیرخطی است. با توجه به شکل ۲ می‌توان نتیجه گرفت که این دو پلیمر در نسبت‌های بالاتر از ۴۰ برای HPC تشکیل آلیاژ امتصاص پذیر را می‌دهند. علت این امر به خاطر افزایش پیوند هیدروژنی بین گروه‌های هیدروکسی HPC و اکسیژن اتری PEG است [۱۱].

#### ۴ گرماسنگی روبشی تفاضلی

یکی از کاربردهای بسیار مهم منحنی‌های DSC اندازه گیری  $T_g$  پلیمرها است. محلول‌های قابل امتصاص،  $T_g$  منفرد حدوداًستی بین دو جزء مربوط را از خود نشان می‌دهند، در حالی که محلول‌های غیرقابل امتصاص،  $T_g$  های مجزا که مشخصه هر یک از اجزای تشکیل دهنده است، از خود نشان می‌دهند [۱۲-۱۳]. در تحقیقی که توسط ماریا (Maria) و همکارانش انجام شد، بر روی



شکل ۲ سرعت فراصوت آلیاژهای HPC/PEG در برابر غلاخت (g/dl) (a) ۸۰/۲۰, (b) ۲۰/۸۰, (c, ۴۰/۶۰, ۵۰/۵۰, ۶۰/۴۰, ۸۰/۲۰) (d)

ثابت هاگینز و C غلظت است. با رسم نمودار  $\eta_{SP}/C$  بر حسب C مقادیر [η] (عرض از مبدأ نمودار) و b KH [η]<sup>2</sup> (شیب نمودار) به دست می‌آیند [۹]. همچنین تحقیقات سایر محققان نشان می‌دهد که در صورت ناسازگاری دو پلیمر، نمودار فوق خطی نبوده، شکستگی خواهد داشت [۱۰].

در پژوهشی که توسط ردی (Reddy) و همکارانش بر روی بررسی امتصاص پذیری هیدروکسی پروپیل سلولز (HPC) و پلی(اتیلن گلیکول) (PEG) به روش گرانزوی سنجی انجام شد، آن‌ها به امتصاص پذیری این دو پلیمر در نسبت‌های بالای ۴۰ درصد از HPC پی‌برند. همان‌طور که در شکل ۱ دیده می‌شود با افزایش بیش از ۴۰ درصدی HPC در ترکیب آلیاژ، نمودارها از حالت غیرخطی به حالت خطی در می‌آیند که این خود نشان‌دهنده امتصاص پذیری این دو پلیمر در مقادیر بالاتر از ۴۰ درصد HPC است.

علت این امر به وجود آمدن پیوندهای هیدروژنی بیشتر و تشکیل اتصالات عرضی بین دو پلیمر (حاصل پیوند هیدروژنی بین گروه‌های هیدروکسی HPC و اکسیژن PEG) و در نتیجه افزایش خطی گرانزوی و امتصاص پذیری آلیاژها است [۱۱].

### ۳ فراصوت

یکی دیگر از روش‌های پیش‌بینی تمايلات سازگاری پلیمرها در ساختار آلیاژهایشان اندازه گیری سرعت فراصوت است. دستگاه فراصوت از طریق تولید امواج مافوق صوت، ابزاری سودمند برای شناسایی امتصاص پذیری پلیمرهاست. با توجه به تحقیقات محققان هرگاه نمودار سرعت فراصوت در برابر غلاخت آلیاژ در حالت محلول، به شکل خطی باشد می‌توان گفت پلیمرهای تشکیل دهنده آن آلیاژ امتصاص پذیری خوبی دارند و در صورتی که غیرخطی باشد امتصاص پذیری پلیمرها با هم نامناسب است.

به عنوان مثال در پژوهشی که توسط محققان بر روی بررسی امتصاص پذیری هیدروکسی پروپیل سلولز (HPC) و پلی(اتیلن گلیکول) (PEG) به روش فراصوت انجام شد به امتصاص پذیری این دو پلیمر در نسبت‌های بالای HPC در ساختار آلیاژ پی‌برند. با توجه به اینکه برای آلیاژهای امتصاص پذیر نمودار سرعت فراصوت به غلاخت همواره به شکل خطی و برای آلیاژهای غیرامتصاص پذیر به شکل

جدول ۱ مقادیر دمای انتقال شیشه‌ای آلیاژهای PTBAA/PEG در نسبت‌های مختلف وزنی

نسبت وزنی (PTBAA/PEG)	۰/۱۰۰	۲۰/۸۰	۴۰/۶۰	۶۰/۴۰	۸۰/۲۰	۱۰۰/۰
(°C) $T_g$	-۵۲	۸۳	۸۷	۸۴	۸۴	۱۲۸

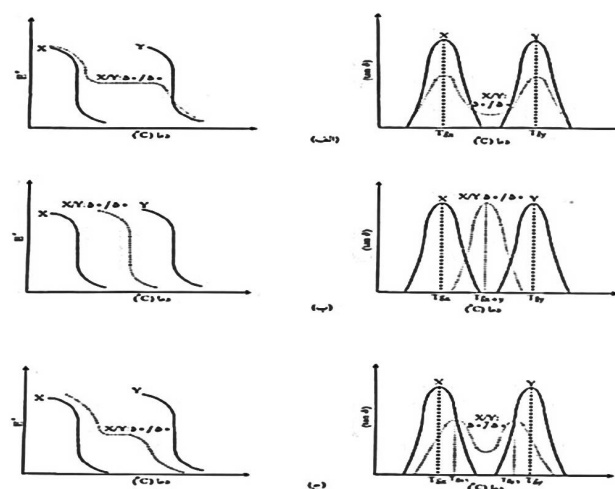
نسب به دما برای نمونه‌های تهیه شده تعیین می‌شود. هنگامی که دمای پلیمر از  $T_g$  عبور می‌کند، مقدار مدول ذخیره‌ای اغلب دو یا سه درجه کاهش می‌یابد و سپس از مقدار بیشینه عبور می‌کند. که از این طریق می‌توان مقدار  $T_g$  را برای آلیاژ به دست آورد. هنگامی که آمیزه‌ها امتراج پذیرند، در نمودار  $\tan\delta$  یا  $E'$  نسبت به دما، قله منفردی نماینده حد واسط مقادیر ترکیبات خالص در پلیمر خواهد بود. اگر آمیزه‌ها امتراج ناپذیر باشند، دو انتقال دمایی مشخص مشاهده خواهد شد که هر یک همان مقدار ترکیبات خالص را خواهد داشت. همچنین در نمودار  $\log E'$  نسبت به دما منحنی به دست آمده، یک پله به ازای ترکیبات امتراج پذیر و در ترکیبات امتراج ناپذیر، چند پله که هر کدام مربوط به یکی از اجزای سازنده آلیاژ است دیده می‌شود [۱۵].

همان طور که در مرجع ۱۶ آمده است، شکل ۳ نشان‌دهنده تغییرات  $E'$  یا  $\tan\delta$  بر حسب دماس است که به ترتیب رفتار آمیزه‌های امتراج پذیر (الف)، کاملاً امتراج پذیر (ب) و امتراج پذیری جزئی (ج) را نشان می‌دهد.

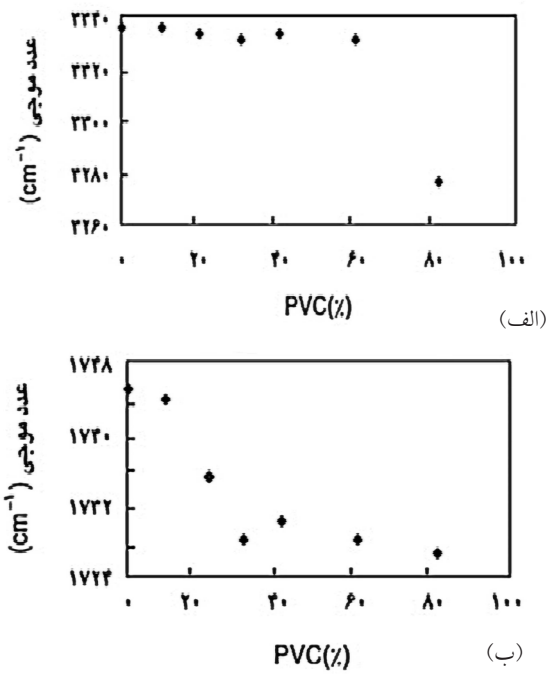
امتراج پذیری پلی‌اتیلن گلیکول (PEG) و پلی(N-ترشیو-بوتیل آکریل آمید) (PTBAA) تحقیق کردنده بر اساس بررسی‌های انجام شده به وسیله DSC امتراج پذیری محدود این دو پلیمر تأیید شد. علت این امتراج پذیری به دلیل وجود پیوندهای هیدروژنی بین گروه‌های OH، CONH<sub>2</sub>، PTBAA است. پلی‌اتیلن گلیکول و گروه‌های CONH<sub>2</sub>، PTBAA در جدول ۱ داده‌های حاصل از نمودار حرارتی DSC آمده است. پس در نتیجه با توجه به اینکه با افزایش درصد PEG به PTBAA در ابتدا مقدار  $T_g$  تغییر تقریباً زیادی می‌کند و از ۱۲۸ در نسبت ۱۰۰/۰ از ۸۴ در نسبت ۸۰/۲۰ کاهش می‌یابد که این امر نشان‌دهنده امتراج پذیری دو پلیمر است؛ اما با افزایش درصد PEG در  $T_g$  آلیاژ تغییر محسوسی دیده نمی‌شود که می‌توان آن را به امتراج پذیری محدود آن‌ها نسبت داد [۱۶].

## ۵ تجزیه گرمایی مکانیکی-دینامیکی

برای مطالعه امتراج پذیری و خواص دینامیکی، آلیاژها با دستگاه تجزیه گرمایی مکانیکی-دینامیکی (DMTA)، تغییرات مدول ذخیره  $E'$  و ضریب اتلاف انرژی ( $\tan\delta$ )



شکل ۳ تغییرات  $\tan\delta$  و  $E'$  بر حسب دما: (الف) امتراج ناپذیر، (ب) کاملاً امتراج پذیر و (ج) امتراج پذیری جزئی.



شکل ۴ نمودار جابه‌جایی محل قله‌ها با تغییر ترکیب درصد آمیخته‌ها:  
C=O (الف) و N-H (ب)

## ۶ طیف سنجی مادون قرمز

طیف سنجی مادون قرمز، روشی معمول است که برای بررسی آمیزه‌های پلیمری مورد استفاده قرار می‌گیرد. در صورتی که دو پلیمر امتحان ناپذیر باشند، طیف مادون قرمز، مجموعه‌ای از طیف دو جزء خواهد شد. جدایی فازها نشان دهنده این است که طیف ترکیبات پلیمری در آمیزه، مشابه پلیمر خالص است. اگر پلیمرها امتحان پذیر باشند، برهم کنش شیمیایی بین زنجیرهای پلیمر امکان پذیر است. چنین برهم کنشی ایجاد اختلاف بین طیف پلیمری در آمیزه و ترکیبات خالص می‌کند. به طور کلی جابه‌جایی فرکانس در پهنه‌ای نوارها در نتیجه ایجاد برهم کنش بین ترکیبات در آمیزه‌هاست و مشخص کننده امتحان پذیری است.

ابراهیمی و رشیدی در تحقیقی، آمیخته‌های پلی‌یورتان (PU) بر پایه پلی(کاپرولاتون) (PCL) و پلی(وینیل کلرید) (PVC) تولید کردند. پلی‌یورتان مورد نظر شامل فازهای بسیار ریز و سخت است که فاز نرم یا دیول آن از پلی(کاپرولاتون) و فاز سخت آن از مجموعه متیلن بیس فنیل دی‌ایزو‌سیانات و زنجیرافزاری بوتان دیول تشکیل شده است. آمیخته‌های پلی‌یورتان با پلی(وینیل کلرید) که درصد وزنی PVC آن ۰، ۱۰، ۲۰، ۳۰، ۴۰، ۶۰ و ۸۰ است، به روش محلول در حلال دی‌متیل استامید تهیه شده و سازگاری آن‌ها مورد ارزیابی قرار گرفته است. در طیف‌های FTIR آمیخته‌های N-H معمولاً دو ناحیه مورد توجه ویژه قرار می‌گیرد. یکی مربوط به ناحیه قله جذبی گروه N-H، که در بسامد ۳۰۰۰ تا  $3300\text{ cm}^{-1}$  ظاهر می‌شود، دیگری مربوط به ناحیه قله جذبی گروه C=O که از  $1640\text{ cm}^{-1}$  تا  $1800\text{ cm}^{-1}$  است. در هر دو ناحیه نام برده شده، قله‌های موجود می‌توانند آزاد یا درگیر در پیوند هیدروژنی باشند. اگر در اثر آمیخته‌سازی، برهم کنش‌هایی میان اجزای پلیمری رخداد، محل قله مربوط به گروه‌های شرکت کننده در این برهم کنش‌ها، جابه‌جا می‌شود. این موضوع را به سازگاری اجزای آمیخته می‌توان نسبت داد. شکل ۴ (الف)، محل قله N-H شرکت کننده در پیوند هیدروژنی را نشان می‌دهد. جابه‌جایی محل قله با تغییر ترکیب درصد، گویای سازگاری آمیخته‌هاست. شکل ۴ (ب)، به طور مشابه محل قله مربوط به گروه C=O آزاد فاز نرم را نشان می‌دهد که نتایج برگرفته از شکل ۴ (الف)، یعنی سازگاری آمیخته‌ها را تصدیق می‌کند [۱۷].

## ۷ طیف سنجی رزونانس مغناطیسی هسته‌ای

همواره برای شناسایی امتحان پذیری آلیاژهای پلیمری به کمک  $^{13}\text{CNMR}$  از دو روش مقایسه طیف‌های پلیمرهای خالص و طیف به دست آمده از آلیاژشان استفاده می‌شود. بررسی امتحان پذیری آلیاژ با اندازه گیری زمان آسایش (Relaxation Times) پروتون‌ها، که این روش، روش دقیق‌تری برای اندازه گیری جدایی از است. فعل و افعالات ترکیبات آلیاژ به وسیله نیروهای بین مولکولی (به ویژه پیوندهای هیدروژنی) باعث تغییر در شب خط و یا انتقال فرکانس رزونانسی در  $^{13}\text{CNMR}$  نسبت به ترکیب‌های غیرآلیاژی می‌شود. اگر فعل و افعالات در سطح گروه‌های عاملی باعث تولید آلیاژهای همگن شوند، چگالی الکترون‌ها در اطراف کربن باعث انتقال قله رزونانس اسپین یا انتقال شیمیایی می‌شوند. اکثر آلیاژهای هومopolیمری و کوپلیمرهای دسته‌ای سامانه‌هایی با جدایی فازند، به طوری که قطعات پلیمری ناسازگار در دو فاز جداگانه قرار می‌گیرند. با اندازه گیری زمان آسایش هیدروژن در  $^{13}\text{CNMR}$  می‌توان جدایی فاز را در آلیاژها و کوپلیمرها معین کرد. در نمونه همگن

## ۸ میکروسکوپ الکترونی روبشی

در بررسی آلیاژهای پلیمری می‌توان از تصاویر به دست آمده سطح شکست پلیمر، به پیوستگی یا جدایی فازی در آلیاژ پی‌برد که با توجه به آن امتزاج پذیری بودن یا نبودن آلیاژ تعیین می‌شود.

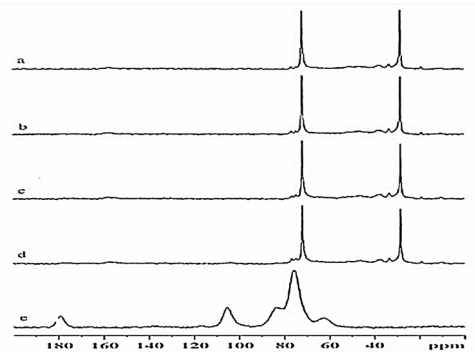
برای بررسی امتزاج پذیری آلیاژهای پلیمری می‌توان از تصاویر گرفته شده از سطح شکست آلیاژها توسط میکروسکوپ الکترونی روبشی (SEM) استفاده کرد [۲۰]. چنانچه تصاویر SEM آلیاژ به دست آمده یک فاز را نشان دهد این خود گویای امتزاج پذیری آلیاژ دو (یا بیشتر) پلیمر است؛ اما چنانچه پلیمرها امتزاج ناپذیر یا اندکی امتزاج پذیر باشند تصاویر دو یا چند فاز را نشان خواهند داد که یکی از پلیمرها تشکیل فاز پیوسته و دیگری تشکیل فاز پراکنده را می‌دهند.

تعیین فاز پیوسته و پراکنده در هر آلیاژ به ترکیب درصد اجزاء، سازگاری فازها، نوع فرایند و نسبت گرانروی اجزا بستگی دارد. فاز پراکنده معمولاً به شکل ذرات کروی در فاز پیوسته دیده می‌شود. در آلیاژ امتزاج ناپذیر با افزایش درصد پلیمری در پلیمر دیگر، ذرات به وجود آمده بزرگتر شده، به هم می‌پيوندد که به این فرایند هم پیوستگی گویند.

از آنجایی که آمیخته‌های پلیمری اکثراً امتزاج ناپذیرند، شکل‌شناسی بهینه هر آمیخته پلیمری هنگامی حاصل می‌شود که در آن ذرات ریز فاز پراکنده در ماتریس به طور یکنواخت پراکنده شده باشند. یعنی اصطلاحاً هم پراکنش و هم توزیع خوبی داشته باشد. اما در فراورش آمیخته‌های پلیمری به دلیل وجود نیروهای ترمودینامیکی که باعث ایجاد به هم پیوستگی می‌شوند، معمولاً حصول این شکل‌شناسی سخت است. اصولاً وجود سازگارکننده در فصل مشترک فازها باعث پایداری شکل‌شناسی می‌شود [۲۱].

در پژوهشی که توسط خالد سعید (Khalid Saeed) و سویونگ پارک (Soo-Young Park) (انجام شد، امتزاج پذیری و خواص آلیاژ پلی‌کاپرولاتون (PCL) و پلی(بوتیل ترفتالات) (PBT) بررسی شد. در این تحقیق آلیاژهای PCL/PBT به وسیله مخلوط کردن در حالت مذاب در دمای ۲۷۰ درجه سانتی گراد برای یک ساعت تحت اتمسفر نیتروژن با درصدهای ۷۰/۳۰، ۸۰/۲۰ و ۶۰/۴۰ تهیه شدند.

تصاویر SEM (شکل ۶) گرفته شده از سطح شکست

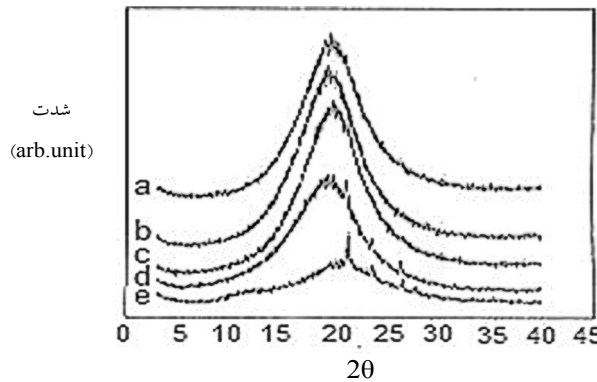


شکل ۵ طیف  $^{13}\text{C}$  آلیاژهای پلیمری (a) PU خالص، (b) PU/CMC=۲۵/۷۵، (c) PU/CMC=۵۰/۵۰، (d) PU/CMC=۵۰/۵۰، (e) CMC خالص

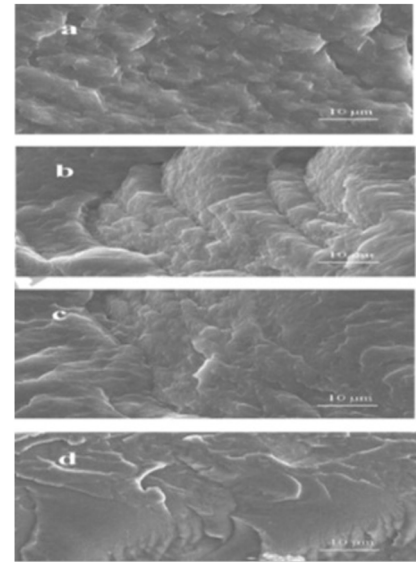
تقریباً همه پروتون‌ها با سرعت یکسان (از طریق نفوذ اسپینی) آسایش می‌یابند [۱۸].

در مثالی برای بررسی امتزاج پذیری آلیاژهای پلیمری با توجه به مقایسه طیف‌های پلیمری خالص و طیف به دست آمده از آلیاژشان، طیف‌های NMR گرفته شده از آلیاژهای به دست آمده پلی‌یورتان (PU) و کربوکسی متیل سلولز (CMC) در نسبت‌های ۱۰۰/۰، ۷۵/۲۵، ۵۰/۵۰، ۲۵/۷۵ و ۰/۱۰ از PU/CMC مانند شکل ۵ هستند.

همان‌طور که در شکل ۵ دیده می‌شود قله گروه کربونیل C=O، CMC در ۱۸۰/۲ ppm است. همچنین قله‌های جذبی C<sub>2</sub>، ۱۰۵/۶ ppm و ۶۲/۳ ppm در ساختار گلوکز هستند. در طیف خالص نیز قله‌های C=O و C-OH در ۱۵۷/۹ ppm و ۷۲/۱ ppm به ترتیب دیده می‌شوند. همان‌طور که دیده می‌شود وقتی دو پلیمر در جهت ساخت آلیاژ با هم ترکیب می‌شوند قله ۱۸۰/۲ ppm مربوط به CMC با کاهش نسب آن در آلیاژ به تدریج ناپدید می‌شود. قله‌های C-OH مربوط به CMC در ۶۲/۳-۱۰۵/۶ ppm به طور قابل ملاحظه‌ای به ۶۷/۷ ppm و ۶۶/۲ ppm و ۶۵/۶ ppm جایه جا می‌شوند و به تدریج با افزایش نسبت PU قله‌های C-OH در ۸۳/۵ ppm و ۱۰۵/۶ ppm ناپدید می‌شوند. این اطلاعات گواه بر این موضوع هستند که ممکن است گروه OH- در CMC از طریق تشکیل پیوند هیدروژنی با CONH- در PU باعث ایجاد آلیاژی با امتزاج پذیری محدود شده است [۱۹].



شکل ۷ Xray آلیاژهای پلیمری با نسبت های  
(a:PU; b:PU/CMC:3/1; c: PU/CMC:1/2; d:PU/CMC:1/3; e:CMC)



شکل ۶ تصاویر SEM از PCL و آلیاژهای PCL/PBT با درصد های مختلف از (a) ۰، (b) ۲۰، (c) ۴۰ و (d) ۶۰ PBT

طیف های X-Ray این آلیاژها در شکل ۷ آمده است. اطلاعات این طیف ها در جدول ۲ داده شده است. همان طور که از داده های جدول ۲ دیده می شود CMC پلیمری با خاصیت بلوری بیشتر نسبت به PU است و با افزایش PU در CMC تعداد قله های CMC کاهش می یابد به طوری که در درصد ۲۵/۷۵ از PU/CMC دو قله با ۲۰ برابر با ۲۷/۹۱ و ۱۲/۱۶ حذف می شود پس با افزایش PU قله های دیگر مانند ۲۶/۴۱ و ۲۳/۶۴ و به ترتیب حذف شده است. قله ۲۰ محدوده ۱۹/۶۶ در PU مربوط به است. کاهش در تعداد قله ها در آلیاژ ادامه می یابد تا به نسبت ۷۵/۲۵ از PU/CMC PU می رسد. در این نسبت درصد تغییر چندانی در طیف آلیاژ نسبت به PU خالص دیده نمی شود. کاهش تعداد قله های طیف Xray گواه این است که با افزایش درصد PU نسبت به CMC در آلیاژ بر اثر ایجاد نیروهای واندروالسی و پیوندهای هیدروژنی بین گروه های عاملی -CONH- و -OH در PU و CMC ساختار بلوری CMC را از هم می پاشد این خسارت و کاهش بلوری بودن در درصد ۷۵/۲۵ از PU/CMC بیشتر دیده می شود؛ زیرا قله های ناحیه بلوری CMC در طیف دیده نمی شود و نشان دهنده این مطلب است که در این نسبت درصدی از آلیاژ بیشترین نیروی بین مولکولی و در نتیجه بیشترین امتصاص پذیری دیده می شود. در کل با توجه به گفته های بالا و طیف های داده شده از پراش پرتو X برای آلیاژ PU/CMC PU می توان گفت که این آلیاژ، تا حدودی امتصاص پذیر است و می توان پی برداشت.

آلیاژها (شکست در نیتروژن مایع انجام شده است) نشان دهنده فاز کاملاً به هم پیوسته است که هیچ گونه فاز دومی در آن ها دیده نمی شود و این خود نشان دهنده امتصاص پذیری بالای این دو پلیمر درهم است. علت این امتصاص پذیری بالا را می توان فعل و انفعالات مطلوب بین گروه های -OH در PCL و گروه های استری PBT دانست [۲۲].

## ۹ طیف سنجی پراش پرتو X

یکی دیگر از روش های بررسی امتصاص پذیری پلیمرها و تشکیل آلیاژ، استفاده از طیف سنجی پراش پرتو X است که در این روش لازم است حداقل یکی از اجزای آلیاژ نیمه بلوری باشد. زیرا در طیف پرتو X برای ترکیبات غیر بلوری یا آمورف، قله ای تشکیل نمی شود و اگر چنانچه هر دو جزء پلیمری آلیاژ، آمورف باشند امکان بررسی آن ها وجود ندارد. در طیف پراش پرتو X براساس تغییراتی که بر اثر ایجاد نیروهای بین مولکولی در آلیاژ امتصاص پذیر تشکیل می شود می توان به امتصاص پذیری آن ها پی برداشت [۲۳].

در کار تحقیقاتی لو (LU) و همکارانش، امتصاص پذیری پلی یورتان (PU) و کربوکسی متیل سلولز (CMC) به کمک طیف پرتو X یا Xray بررسی شد.

جدول ۲ مقدار ۲۰ برای آلیاژهای پلیمری در طیف سنجی X-Ray

نسبت جرمی (PU/CMC)	قله ۱	قله ۲	قله ۳	قله ۴	قله ۵	قله ۶
۱۰۰/۰	-	۱۹/۶۶۳	-	-	-	-
۷۵/۲۵	-	۱۹/۴۶۰	-	-	-	-
۵۰/۵۰	-	۱۷/۷۸۲	۲۱/۲۴۲	-	-	-
۲۵/۷۵	-	۱۹/۴۹۲	۲۱/۲۴۴	۲۳/۶۴۱	۲۳/۴۱	-
۰/۱۰۰	۱۲/۱۶۰	-	۲۱/۳۴۲	۲۳/۷۴۶	۲۶/۵۶۰	۲۷/۹۱۲

با اندازه‌گیری تغییرات به وجود آمده در سرعت موج به وجود آمده در محلول‌های آلیاژ، X-Ray با بررسی تغییرات به وجود آمده در قله طیف‌های تشکیل شده از آلیاژها و هموپلیمرها به بررسی امتصاص پذیری پلیمرها کمک می‌کنند. در کل می‌توان گفت که ساده‌ترین و ارزان‌ترین روش برای شناسایی امتصاص پذیری پلیمرها در هر آلیاژ استفاده از روش گرانزوی سنجی است که امروزه در بیشتر مقالات از این روش استفاده می‌شود. روش  $^{13}\text{CNMR}$ <sup>۱۳</sup> روشی تقریباً دقیق برای اندازه‌گیری فاصله جدایی فاز است که حساسیت بالایی از خود نشان می‌دهد.

که بیشترین امتصاص پذیری در نسبت درصدی ۷۵/۲۵ از آلیاژ PU/CMC وجود دارد [۱۹].

## ۱۰ نتیجه‌گیری

روش‌های DSC و DMTA با بررسی دمای  $T_g$  آلیاژ، روش SEM با بررسی شکل شناسی آلیاژ، روش IR FT-IR با بررسی اختلافات در عدد موجی ( $\Delta v$ ) قله‌های آلیاژ و هموپلیمرهای آن، روش NMR با اندازه‌گیری زمان آسایش پروتون‌ها و تغییرات به وجود آمده در قله‌های آلیاژ نسبت به هموپلیمرها، گرانزوی سنجی با اندازه‌گیری تغییرات گرانزوی محلول‌های آلیاژ، فرآصوت

## مراجع

۱. حسینی کمشوری امین، نوذری سعید، "پیشرانه‌های مایع به عنوان نسل جدید پیشرانه‌های تفنگی"، مجله تحقیق و توسعه مواد پرائزی، ۲، ۴۱-۵۰، ۱۳۸۶.
۲. زارعی علیرضا، محسنی میلان و ذرعی محمدعلی، "روش‌های افزایش سرعت سوزش در پیشرانه‌های جامد مولید گاز کیسه هوا"، مجله تحقیق و توسعه مواد پرائزی، ۲، ۱۹-۲۹، ۱۳۹۵.
۳. سیف فرهاد، آقایاری مهدی، "بررسی نرم‌کننده‌های پرائزی در پیشرانه‌های جامد"، مجله تحقیق و توسعه مواد پرائزی، ۲، ۳۳-۴۴، ۱۳۹۱.
۴. پاشایی سورباقی فاطمه، "پلیمرهای پرائزی: معرفی و کاربردها، فصلنامه علمی - ترویجی سپارش"، ۴، ۶۱-۶۹، ۱۳۹۱.
۵. زراعتکار مقدم محسن، دهنویی محمدعلی، نجفی مصطفی، "بررسی کهولت پیشرانه‌های جامد مرکب بربایه HTP"، نشریه مهندسی شیمی ایران، ۸۵، صفحه ۷۵-۶۱، ۱۳۹۵.
6. Davenas A., "Solid Rocket Propulsion Technology", Pergamon Press, 1st Edition, France, 1993.
7. Muthiah R.M., masundaran U.I., Verghese T.L., Thornas V. A., "Energetics and Compatibility of Plasticizers in Composite Solid Propellants", *Def Sci J*, 39, 147-155, 1998.
8. Ramesh S., Yahana A.H., Arof A.K., "Miscibility Studies of PVC Blends (PVC/PMMA and PVC/PEO) Based Polymer Electrolytes", *Solid State Ionics*, 148, 483-486, 2002.
۹. جوادی عزیزه، محمدی ناصر، باقری رضا و مشایخی ژیلا، "بررسی امتحان پذیری پلی(ونیل کلراید) (PVC) با پلی(متیل متاکریلات) (PMMA) یا ذرات هسته/پوسته با پوسته PMMA به روش گرانزوی سنجی محلول رقیق (DSV)", نهمین کنگره ملی مهندسی شیمی ایران، صفحه ۱۱۷، ۴۱۸۳، ۱۳۸۳.
10. Kuleznev V. N., Mel'nikova O.L., Klykova V. D., "Dependence of Modulus and Viscosity Upon Composition for Mixtures of Polymers. Effects of Phase Composition and Properties of Phases", *Eur. Polym. J.*, 14, 455-461, 1978.
11. Sudharsan Reddy K., Prabhakar M.N., Kumara Babu P., Venkatesulu G., Sajan Kumarji Rao U., Chowdaji Rao K., Subha M.C.S., "Miscibility Studies of Hydroxypropyl Cellulose/Poly(Ethylene Glycol) in Dilute Solutions and Solid State", *International Journal of Carbohydrate Chemistry*, 2012, 1-9, 2012.
12. Malcolm P.S., "Polymer Chemistry: An Introduction", Oxford University Press, 3rd Editio, 1999.
13. Wang Z., Zhang Y., SHI X., "Highly Miscible Polymer Blends and Uses Thereof", US Pat. 14406082, 2013.
14. Silva Maria Elisa S. R., Mano V., Pacheco, R., Freitas R., "Miscibility Behavior of Polyacrylamides Poly(Ethylene Glycol) Blends: Flory Huggins Interaction Parameter Determined by Thermal Analysis", *Journal of Modern Physics*, 4, 45-51, 2013.
15. Stuart B.H., "Polymer Analysis", John Wiley and Sons, 1rd Edition, New York, 2002.
16. Mehrabzadeh M., "Impact Modification of Polyamide 11", Ph.D. Thesis, University of New South Wales, NSW, Australia, 1994.
۱۷. رشیدی بهاره، گلشن ابراهیمی نادره، "بررسی سازگاری و خواص آمیخته‌های پلی(وینیل کلراید)-پلی یورتان پایه استری"، مجله علوم و تکنولوژی پلیمر، ۱، ۴۱-۴۸، ۱۳۸۶.
18. Caravalti P., Neuenschwander P., "Characterization of Heterogeneous Polymer Blends by Two-dimensional Proton Spin Diffusion Spectroscopy", *Macromolecules*, 18, 119-122, 1985.
19. Huang K.S., Chen S.W., LU L.A., and Min R.R., "Synthesis, Properties and Applications of Polyurethane/Carboxymethyl Cellulose Blended Polymers. I. Compatibility of the PU/CMC Blended Polymer", *Cellulose Chem. Technol*, 41, 113-117, 2005.
۲۰. شکرالهی پروین، "میکروسکوپ الکترونی پویشی و کاربرد آن در مطالعه‌ی ساختار پلیمرها"، مجله علوم و تکنولوژی پلیمر، ۴، ۲۶۵-۲۵۵، ۱۳۷۵.
21. Sundararaj U., Macosko C.W., "Drop Breakup and Coalescence in Polymer Blends: The Effects of Concentration and Compatibilization", *Macromolecules*, 28, 2647-2657, 1995.
22. Khalid S., Soo-Young P., "Preparation and Properties of Polycaprolactone/Poly (Butylene Terephthalate) Blend", *Iran. J. Chem. Chem. Eng.*, 29, 77-81, 2010.
23. Liu J., Jean Y.C., and Yang H., "Free-Volume Hole Properties of Polymer Blends Probed by Positron Annihilation Spectroscopy: Miscibility", *Macromolecules*, 28, 5774-5779, 1995.

